

次世代赤外線天文衛星(SPICA)の放射冷却構造に関する要素試作とランダム振動環境評価



山脇敏彦、水谷忠均 (JAXA/研究開発本部)、小松敬治、後藤健、竹内伸介 (JAXA/宇宙科学研究所)
施勤忠、赤城弘樹 (JAXA/環境試験技術センター)

SPICAは、現在リスク低減フェーズ2の段階にあり、ミッションの成功に不可欠な要素技術の試作評価を中心とした活動を実施している。本報告では、極低温望遠鏡の実現に不可欠な軽量放射冷却構造の要素試作および望遠鏡光学ベンチから支持される搭載観測機器に対するランダム振動環境評価について述べる。**SPICA**では、太陽からの入熱を宇宙空間に放射で逃がすための多層シールド、鏡筒、バッフルを有している。これらは高熱伝導、軽量化を求める一方、打上げ時の対座屈強度が大きな課題となっている。このために、要素試験片の製作評価、モデル座屈実験などを実施し、設計の妥当性を評価した。また上記構造および望遠鏡を支持するトラスからの伝導による侵入熱を減らす必要があるため、軌道上でトラスを分離する方式が提案されたが、本フェーズでは、主要な要素となるCFRP製バネの試作試験を実施し、その実現性を確認した。さらに搭載観測機器開発でクリティカルとなるランダム振動環境を評価し、フォースリミット法の適用により試験時の環境を緩和することを検討した。これらにより当初目標とした**SPICA**のリスク低減を達成した。

◆ランダム振動環境およびフォースリミット条件

<解析対象>
SPICAに搭載される焦点面観測装置FPIA(Focal Plane Instrument Assembly)上の遠赤外線観測装置SAFARI(SPICA FAR-infrared Instrument)搭載面インターフェース点のランダム振動環境 (Fig.1 Blue Points)

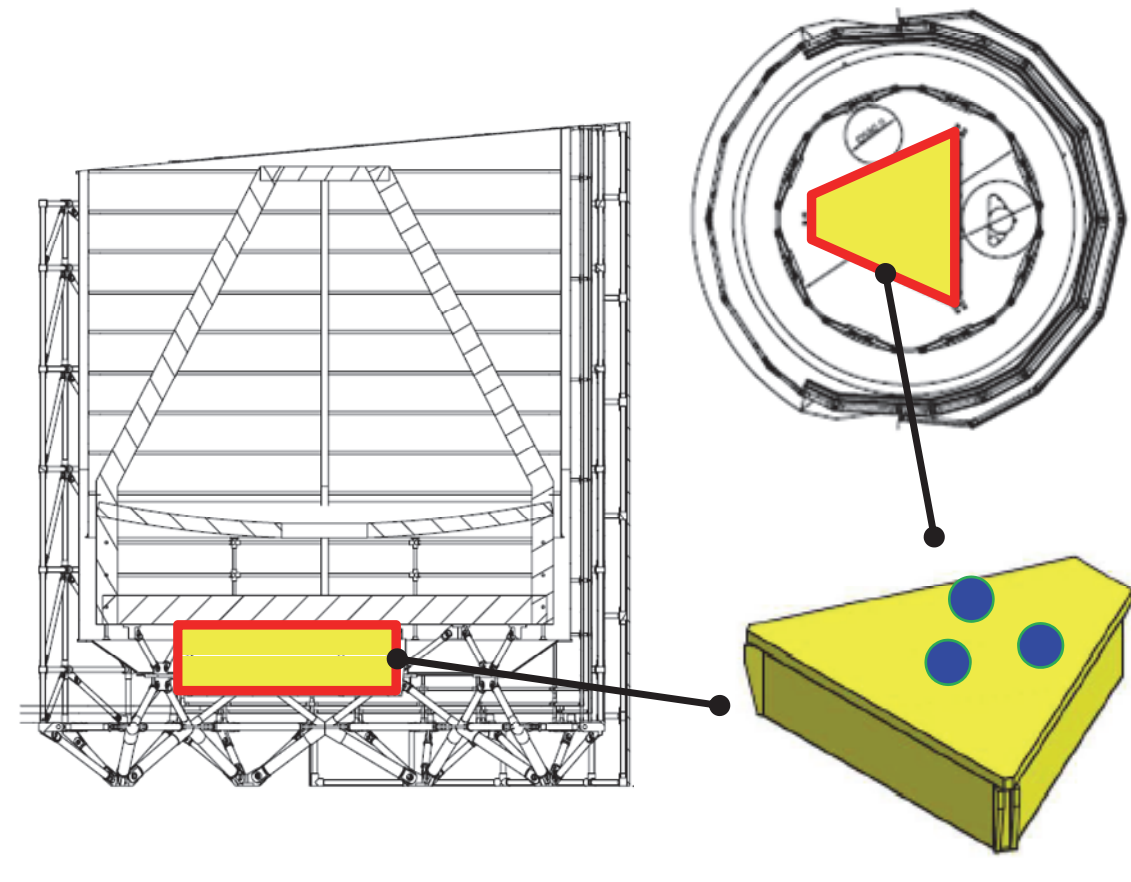


Fig.1 Overview and Location of SPICA-FPIA

FEA : Finite Element Analysis (有限要素解析)
SEA : Statical Energy Analysis (統計的エネルギー解析)

<適用手法>

ランダム振動環境予測手法 - FEA-SEA統合法 -

ランダム振動環境条件の検討では、FEA-SEA統合法を用いた。宇宙機構体パネル等の決定論サブシステムはFEA、拡散音場等の統計的サブシステムはSEAを用いてモデル化、構造から音響への放射(FEA⇒SEA)と音響からの構造負荷(SEA⇒FEA)が等しいとする相反性を利用し、各サブシステム間のパワーフロー平衡を考慮し、統計的サブシステムがランダムに変化する時の平板応答を求める手法(自由度毎)である^[1]。

(動剛性行列) ※平板剛性+放射抵抗

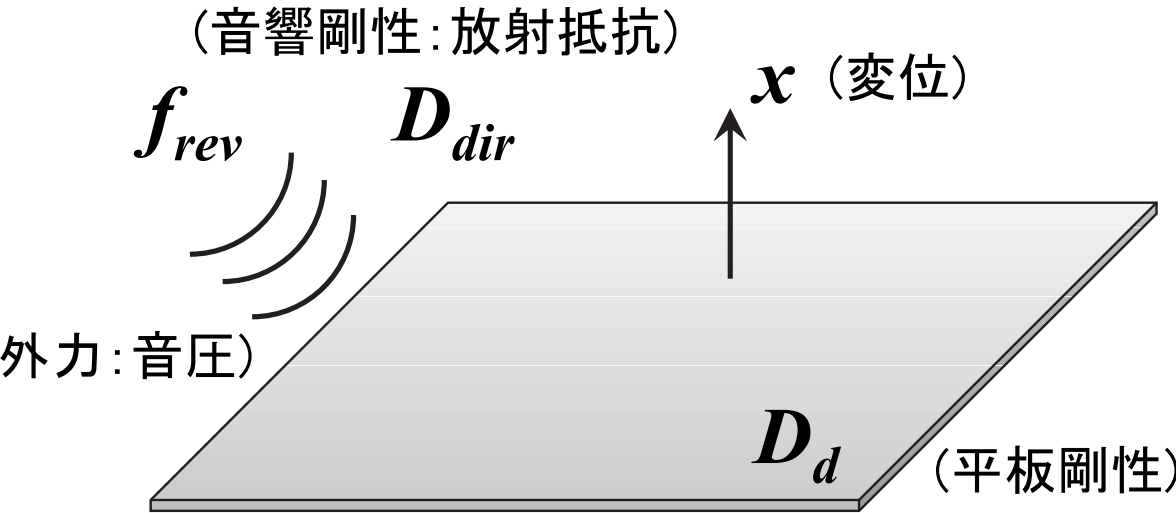


Fig.2 Flat Panel in Diffuse Sound Field

(1) 赤城弘樹、安藤成将、柳瀬恵一、施勤忠、"宇宙機音響振動応答予測に関するFEA-SEA統合法適用の理論検討と実験検証"、日本機械学会論文集C編、Vol.79、No.802(2013)、pp 1960-1969.

$$D_{tot} = D_d + D_{dir}$$

(応答変位パワースペクトル密度)

$$\langle S_{xx} \rangle = \frac{8\pi c_0 \langle \bar{p}^2 \rangle}{\rho_0 \omega^3} D_{tot}^{-1} \text{Im}(D_{dir}) D_{tot}^{-H}$$

< >は、統計的サブシステムがランダムに変化する時のアンサンブル平均操作を表し、Hは行列の共役転置操作を表す

フォースリミット振動試験条件 一動質量を用いた最大フォース値の予測手法 -

フォースリミット条件の算出では、搭載機器(以下、Load系)の動質量を用いて、機器インターフェース(I/F点)における最大予測フォース値を算出する方法を検討した。Load系I/F点を剛固定として固有値解析を行い、求められた搭載機器の各モードの有効質量により、Load系の動質量M_lは以下の式を用いて求めることができる^[2]。また、Load系に加わるI/FフォースF_lは、I/F加速度A_lと動質量M_lの積で表される。I/F加速度は実応答(FEA-SEA統合法の結果)を用いる。算出されたI/Fフォースの最大値がフォースリミット条件F_{PSDspec}となる。

(動質量)

$$M_l(\omega) = \frac{F_b(\omega)}{A_b(\omega)} = M_l \left\{ 1 + \sum_{k=1}^n \left(\frac{m_{ek}}{M_l} \frac{r_k^2}{(1-r_k^2) + j2\zeta_k r_k} \right) \right\}$$

(最大予測I/Fフォース)

$$F_{PSDspec} = \max(M_l \times A_b(\text{response}))$$

M_l: Load系の剛質量 m_{ek}: Load系のk次モードの有効質量

r_k: 周波数比(=ω/ω_k) ω_k: Load系のk次モードの固有角周波数

j: 虚数単位 ζ_k: Load系のk次モードの減衰比

I/F加速度A_lにランダム振動環境条件を代入することにより、試験時における過剰な負荷量を見積りフォースリミット条件を検討することができる。

(2) 宇宙航空研究開発機構、JERG-2-130 HB004 フォースリミット振動試験ハンドブック

◆大型円筒シェルモデルの座屈実験

鏡筒、バッフル構造の座屈荷重に対する試験検証

一般的に座屈強度は理論値と実験値に相違があることが知られており、設計においてはノックダウンファクタを考慮する。しかしながら、半径/厚さの比が1500を超える大型薄肉円筒シェル構造では座屈荷重の実験値が少ないため、機械振動による座屈について実験的検証を行った。**SPICA**ではミッション部の鏡筒、バッフルが対象構造となる(Fig.7参照)。

- (1) 2種類の円筒シェルの正弦波振動試験を行った(Fig.8-9)。その結果、シェルに加わる体積力が座屈荷重より大きくなると座屈により形状は崩壊しない。ただし、変形が塑性域に入らないことが条件である。
- (2) ランダム振動試験、音響試験では、その荷重が座屈荷重より大きくなると正弦波試験以上に座屈は問題となる(Fig.10)。
- (3) r/t>1500以上の円筒シェルではハンドリングの際、静荷重で座屈させる可能性が大きいので使うべきでない(Fig.11)。



Fig.8 1/4-scaled specimen made of polyester film which have different thickness (0.25mm and 0.125mm).

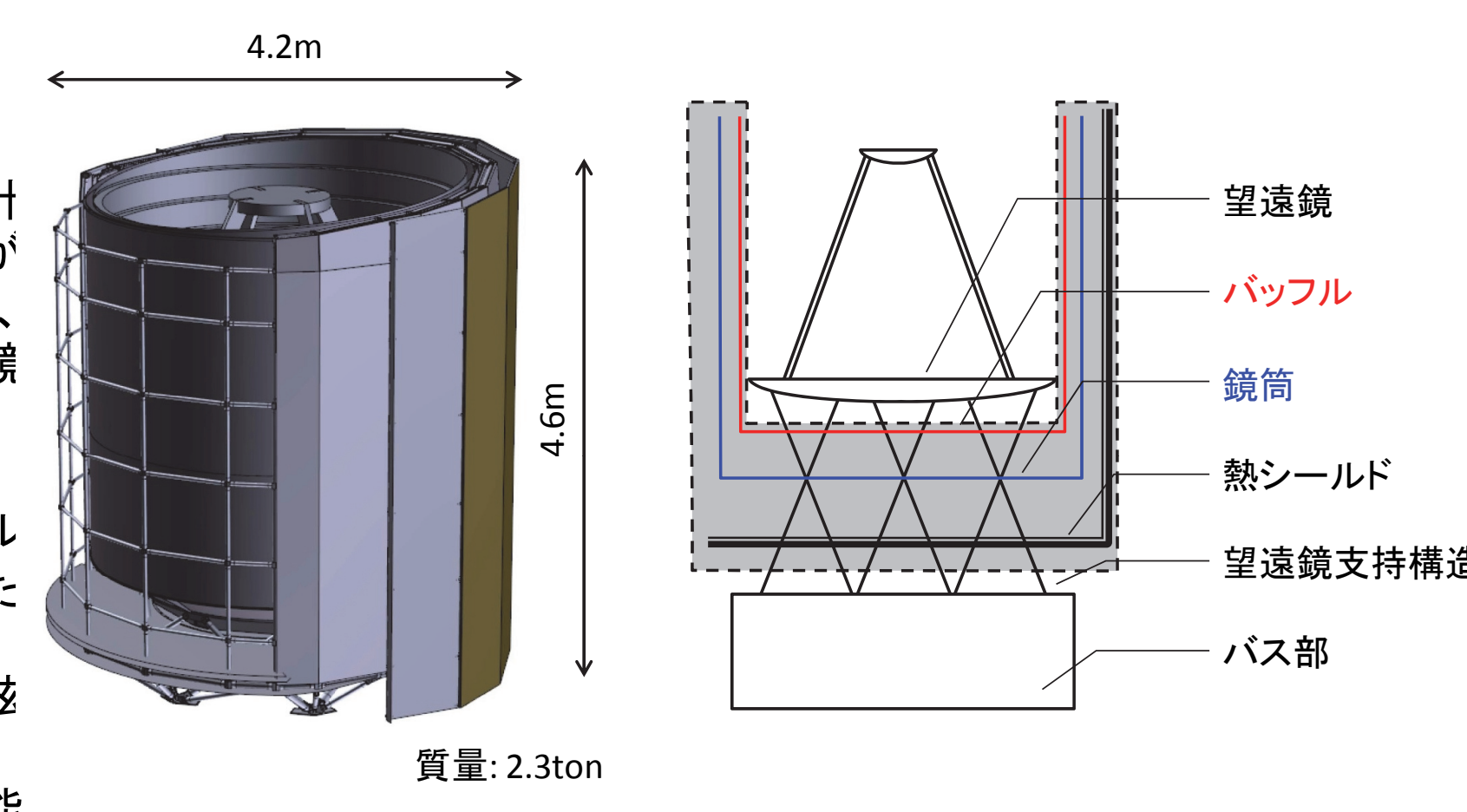


Fig.7 Overview and locations of the baffle and the telescope shell.



Fig.9 Vibration and buckling test of the large cylindrical shells.

Fig.8 1/4-scaled specimen made of polyester film which have different thickness (0.25mm and 0.125mm).

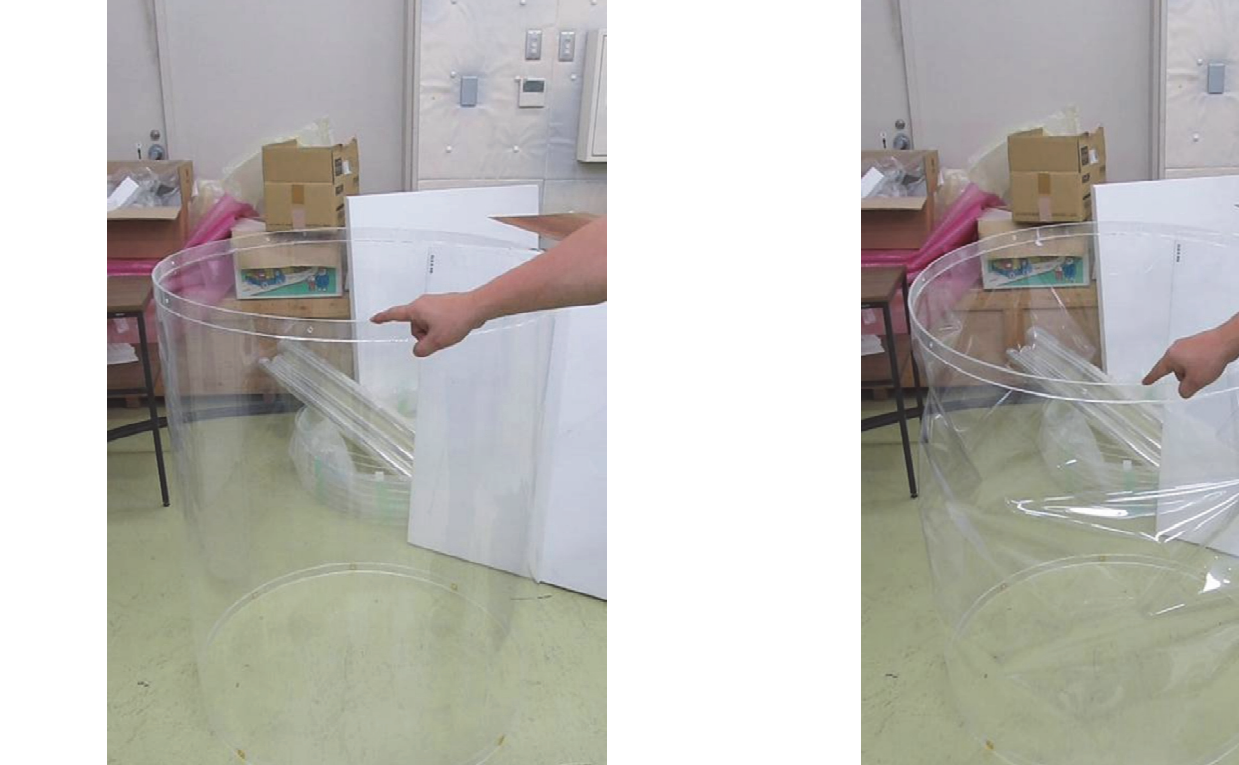


Fig.11 Buckling of the cylindrical shell (r/t = 3200) induced by static loading. The buckling load can easily be applied by finger.

◆軌道上トラス分離機構 バネ試作試験

軌道上トラス分離機構

望遠鏡を支持するトラスは3段構成となっているが、望遠鏡への侵入熱を低減するため、絶対温度30K領域と4.5K領域をつなぐ上段トラスを軌道上で分離する(Fig.12)。

CFRP断熱バネの設計および試作試験

分離されるトラスを接続する部材として、CFRP製のバネを設計し試作した。材料の選定は、4.5-30Kの温度域における低熱伝導性を検証した結果であり、バネ形状は断熱性に加えて望遠鏡への擾乱伝達低減を考慮している。リスク低減フェーズ2(RMP#2)では要素試験(材料試験)およびバネ単体試験を実施し(Fig.13)、分離機構を試作した(Fig.14)。

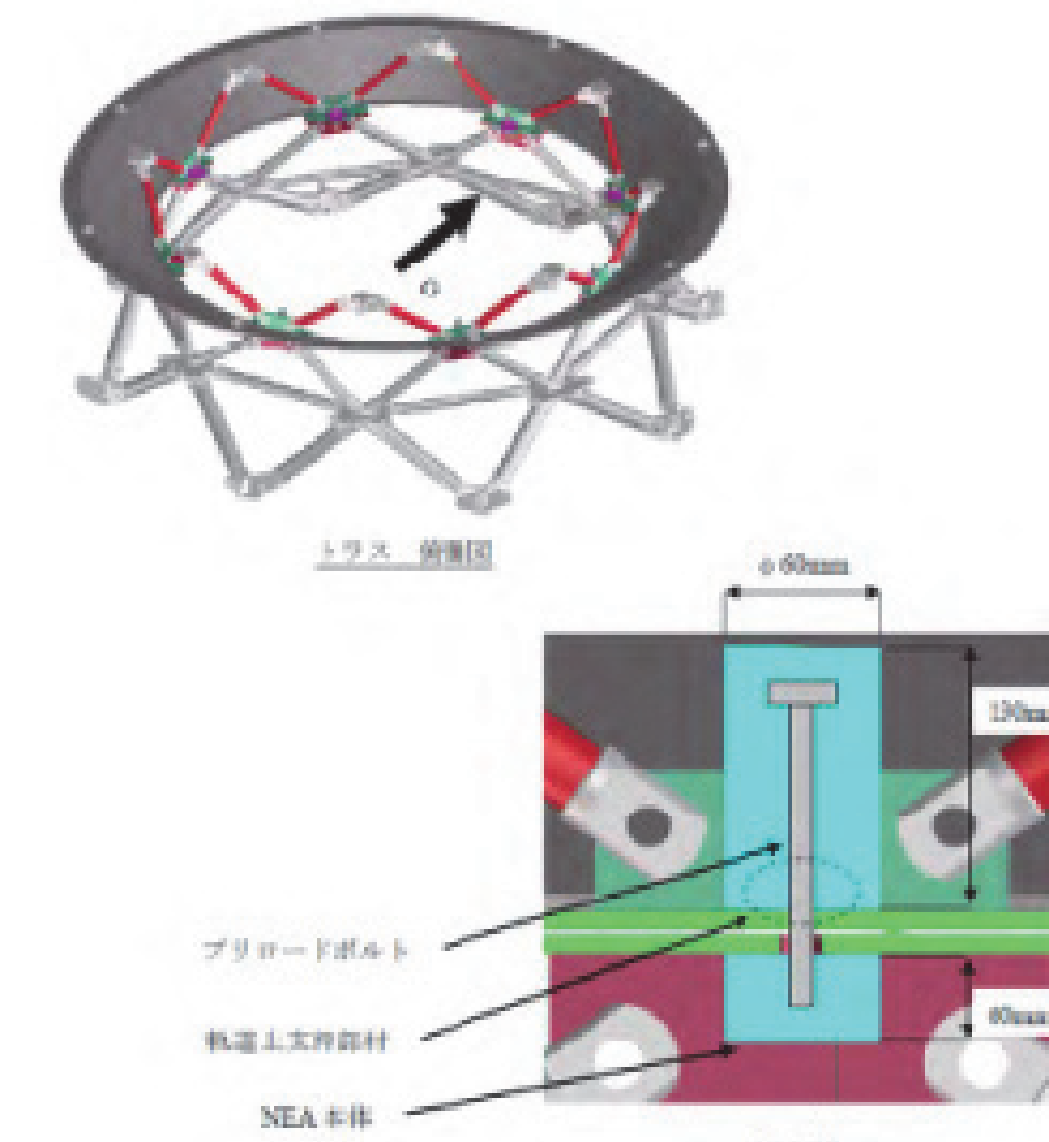


Fig.12 Schematic of truss separation mechanisms

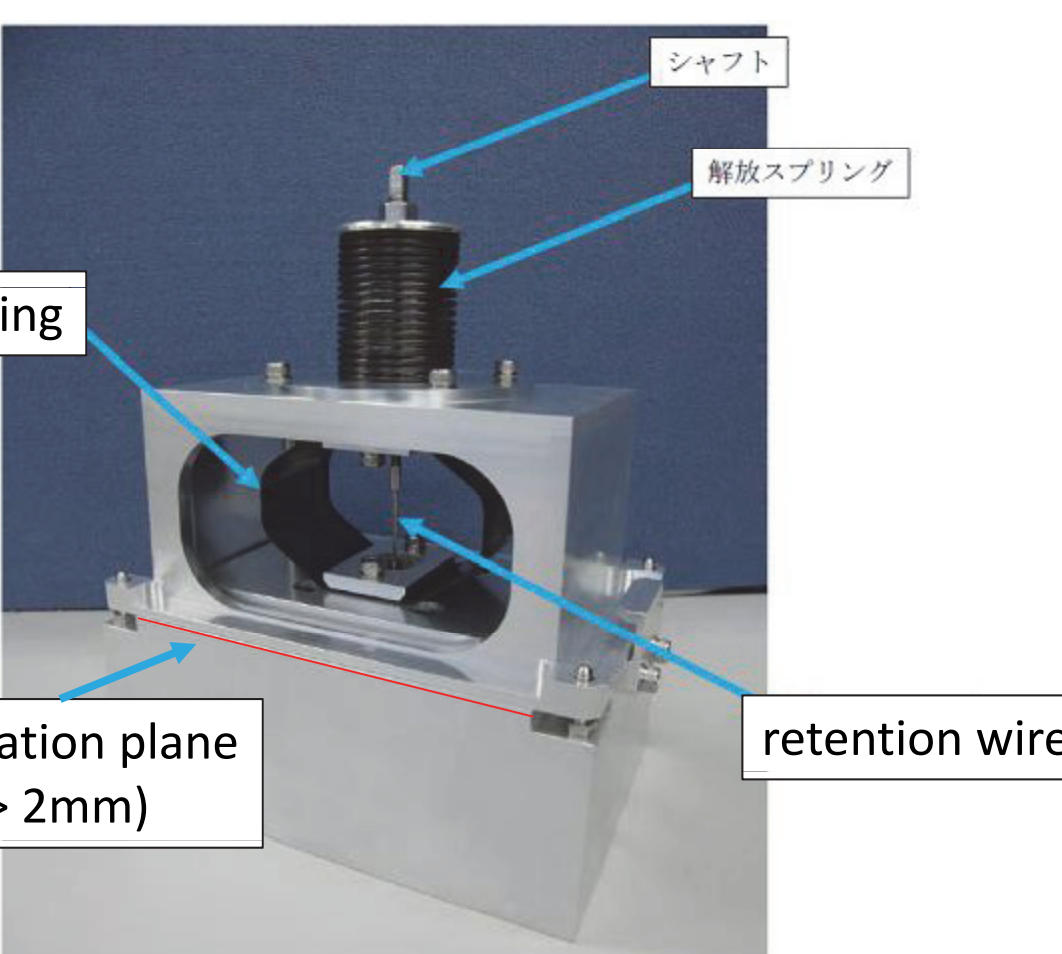


Fig.14 Insulation CFRP spring and separation mechanisms (breadboard model)

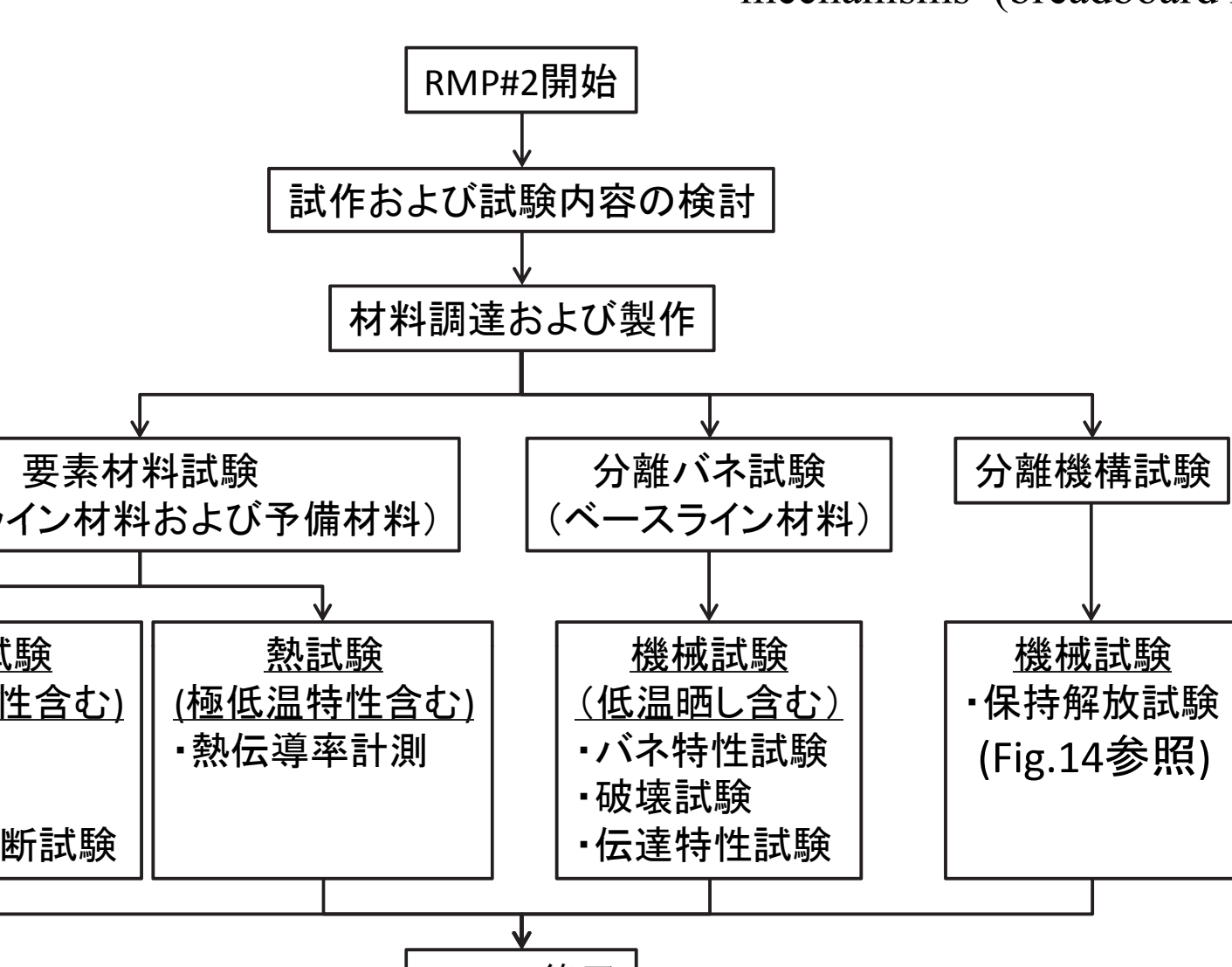


Fig.13 Test plan of the truss separation mechanisms in risk mitigation phase 2.